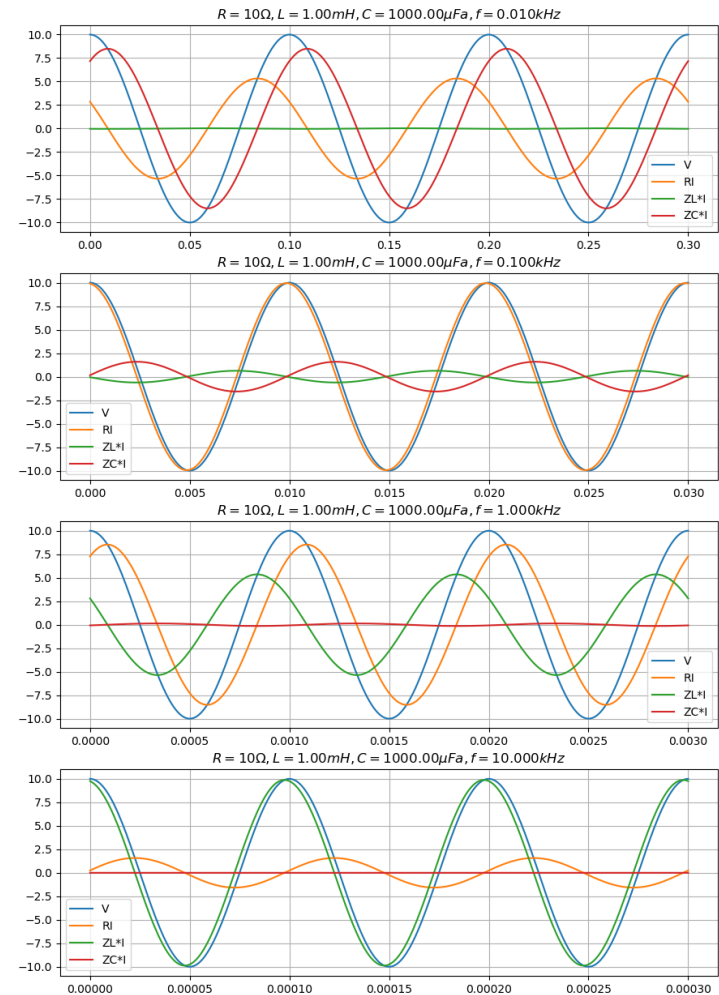


# Aula 10

Resolução de (sistemas) de equações lineares  
(parte 2): mais alguns problemas que dão origem a equações lineares.



# Resolver é fácil...

Como os métodos de resolução estão bem padronizados, podemos quase sempre recorrer a funções pré-existentes:

```
x=np.linalg.solve(M,b)
```

Escolhendo outras opções se o problema for particular (exemplo matrizes esparsas).

A dificuldade está na construção do sistema de equações adequado para o problema.

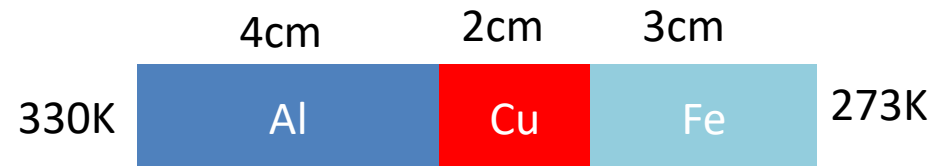
# Calcular a distribuição de temperatura numa barra composta 1D

Admite-se que não existe fluxo lateral de calor.

Na direção longitudinal vale a lei de Fourier:

$$\text{Fluxo de calor} = -k \frac{\partial T}{\partial x}$$

Metal	Condutividade $Wm^{-1}K^{-1}$
Aluminio	237
Cobre	401
Ferro	80



Admite-se que a barra atingiu o equilíbrio térmico ( $T = \text{const}$  em cada ponto), logo Fluxo independente de  $x$ . Logo, em cada metal ( $k = \text{const}$ ):

$$\frac{\partial T}{\partial x} = \text{const}$$

Isto é a temperatura varia linearmente, seguindo uma linha quebrada, com quebras nas transições entre materiais.

# Discussão

A equação da condução de calor, de Fourier, é uma equação diferencial:

$$\frac{\partial T}{\partial t} = -\nabla \cdot (-k\nabla T)$$

reduzindo-se, o caso estacionário, a:

$$\nabla^2 T = 0$$

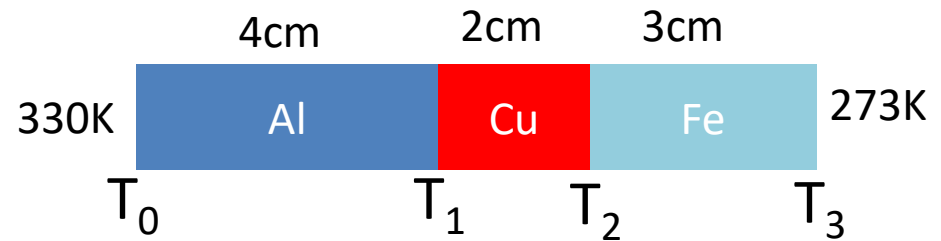
E, no caso unidimensional:

$$-\frac{\partial}{\partial x} \left( -k \frac{\partial T}{\partial x} \right) = 0$$

No caso em que  $k$  é **constante por troços**, obtém-se (**de forma exata**) um sistema de **equações lineares algébricas**.

O caso geral, em que é preciso resolver a **equação diferencial**, será tratado mais tarde.

# Condução

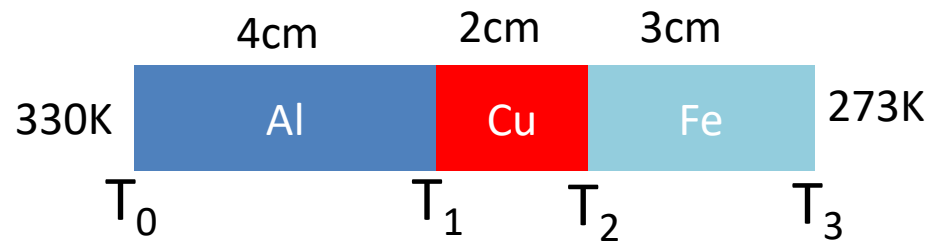


$$\begin{aligned} \text{Fluxo de calor} &= k_{Al} \left( -\frac{\partial T}{\partial x} \right) \equiv k_{Al} \frac{T_0 - T_1}{x_1 - x_0} = k_{Cu} \frac{T_1 - T_2}{x_2 - x_1} = k_{Fe} \frac{T_2 - T_3}{x_3 - x_2} \\ &= \text{const} \end{aligned}$$

Sistema de equações lineares algébricas:

$$\begin{cases} -\frac{k_{Al}}{x_1 - x_0} T_1 - \frac{k_{Cu}}{x_2 - x_1} T_1 + \frac{k_{Cu}}{x_2 - x_1} T_2 = -\frac{k_{Al}}{x_1 - x_0} T_0 \\ \frac{k_{Cu}}{x_2 - x_1} T_1 - \frac{k_{Cu}}{x_2 - x_1} T_2 - \frac{k_{Fe}}{x_3 - x_2} T_2 = -\frac{k_{Fe}}{x_3 - x_2} T_3 \end{cases}$$

# Forma matricial



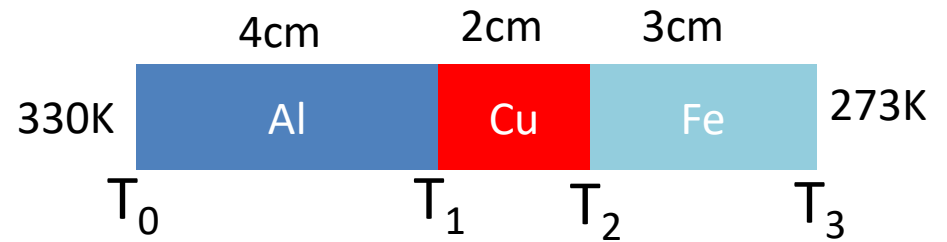
$$\begin{cases} -\frac{k_{Al}}{x_1 - x_0} T_1 - \frac{k_{Cu}}{x_2 - x_1} T_1 + \frac{k_{Cu}}{x_2 - x_1} T_2 = -\frac{k_{Al}}{x_1 - x_0} T_0 \\ \frac{k_{Cu}}{x_2 - x_1} T_1 - \frac{k_{Cu}}{x_2 - x_1} T_2 - \frac{k_{Fe}}{x_3 - x_2} T_2 = -\frac{k_{Fe}}{x_3 - x_2} T_3 \end{cases}$$

$$\begin{bmatrix} -\frac{k_{Al}}{x_1 - x_0} & -\frac{k_{Cu}}{x_2 - x_1} \\ \frac{k_{Cu}}{x_2 - x_1} & -\frac{k_{Cu}}{x_2 - x_1} - \frac{k_{Fe}}{x_3 - x_2} \end{bmatrix} \begin{bmatrix} T_1 \\ T_2 \end{bmatrix} = \begin{bmatrix} -\frac{k_{Al}}{x_1 - x_0} T_0 \\ -\frac{k_{Fe}}{x_3 - x_2} T_3 \end{bmatrix}$$

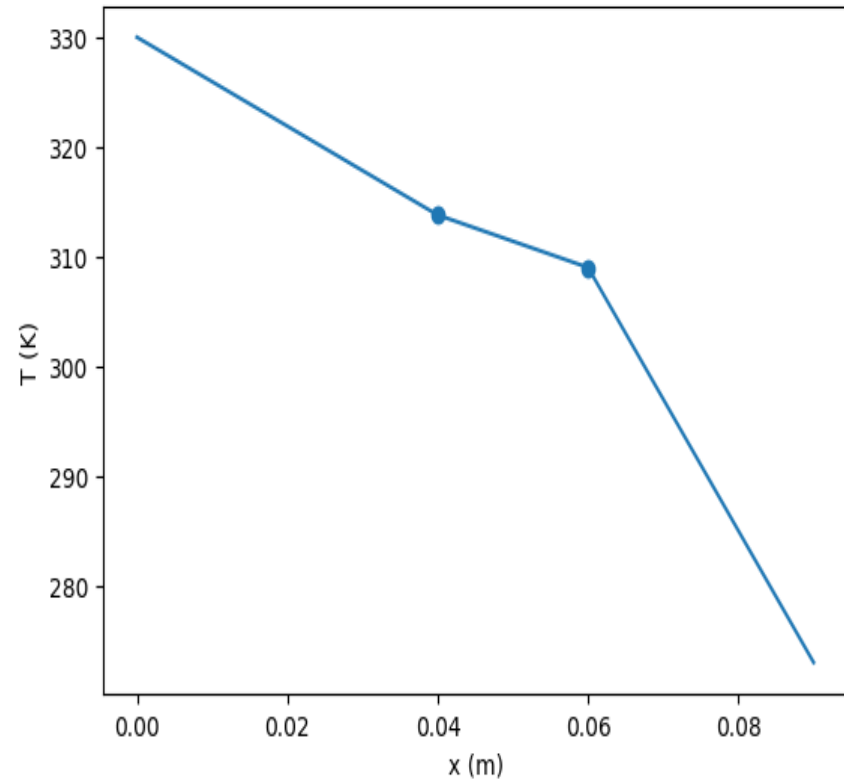
# Equilíbrio térmico numa barra

```
import numpy as np
import matplotlib.pyplot as plt
kAl=237;kCu=401;kFe=80;T0=330;T3=273
x0=0;x1=0.04;x2=0.06;x3=0.09
A=np.array([[[-kAl/(x1-x0)-kCu/(x2-x1),kCu/(x2-x1)],\
             [kCu/(x2-x1),-kCu/(x2-x1)-kFe/(x3-x2)]]],dtype=float)
b=np.array([-kAl/(x1-x0)*T0,-kFe/\
            (x3-x2)*T3],dtype=float)
T=np.linalg.solve(A,b)
print('T=',T)
plt.plot([x0,x1,x2,x3],[T0,T[0],T[1],T3])
plt.scatter([x1,x2],T)
plt.xlabel('x (m)')
plt.ylabel('T (K)')
```

# Solução

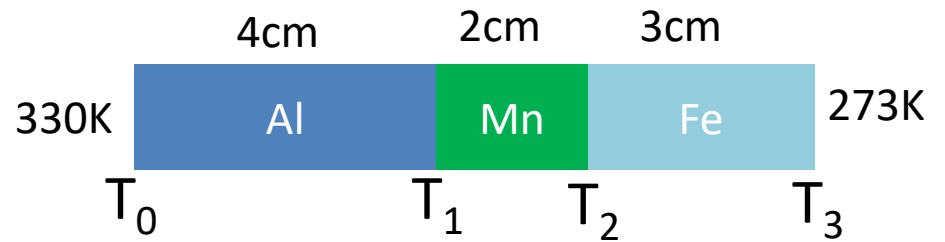


Metal	Condutividade $Wm^{-1}K^{-1}$
Aluminio	237
Cobre	401
Ferro	80

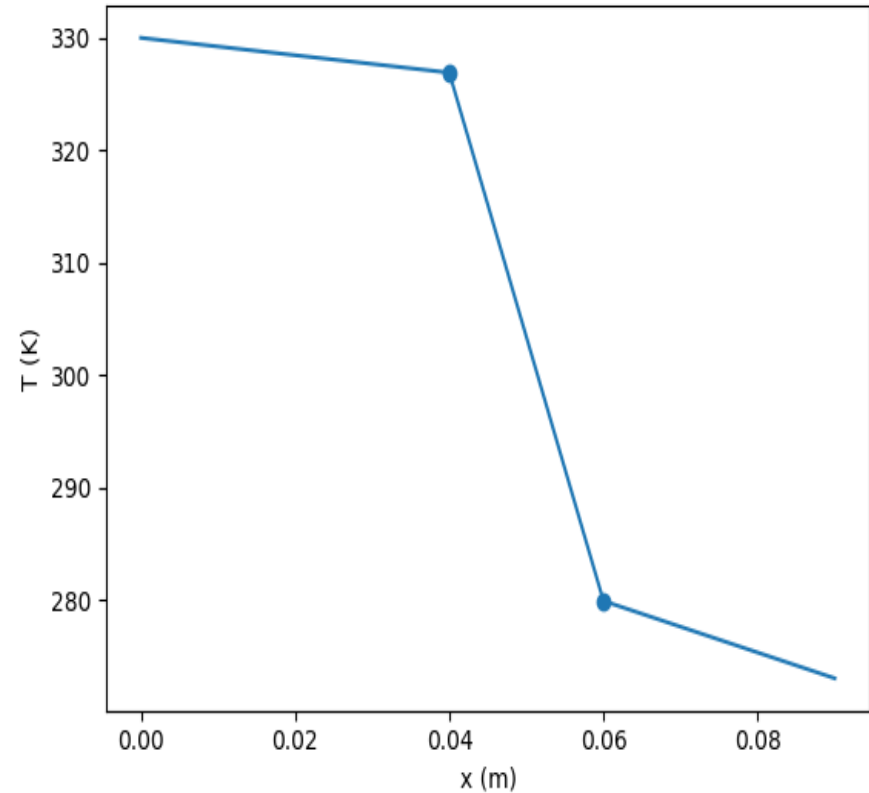




# Solução 2



Metal	Condutividade $Wm^{-1}K^{-1}$
Aluminio	237
Manganésio	7.81
Ferro	80



# Se a barra for constituída por n segmentos

$$\begin{bmatrix} -\frac{k_1}{\Delta x_1} & \frac{k_2}{\Delta x_2} & 0 & \dots & 0 \\ \frac{k_2}{\Delta x_2} & -\frac{k_2}{\Delta x_2} - \frac{k_3}{\Delta x_3} & 0 & \dots & 0 \\ \dots & \dots & \dots & \dots & \dots \\ 0 & 0 & -\frac{k_{n-2}}{\Delta x_{n-2}} - \frac{k_{n-1}}{\Delta x_{n-1}} & \frac{k_{n-1}}{\Delta x_{n-1}} & 0 \\ 0 & 0 & \frac{k_{n-1}}{\Delta x_{n-1}} & -\frac{k_{n-1}}{\Delta x_{n-1}} - \frac{k_n}{\Delta x_n} & 0 \end{bmatrix} \begin{bmatrix} T_1 \\ T_2 \\ \dots \\ T_{n-2} \\ T_{n-1} \end{bmatrix} = \begin{bmatrix} -\frac{k_1}{\Delta x_1} T_0 \\ 0 \\ \dots \\ 0 \\ -\frac{k_n}{\Delta x_n} T_n \end{bmatrix}$$

Trata-se de um sistema triadiagonal, cuja solução são as temperaturas nas interfaces  $[T_1, \dots, T_{n-1}]$ , dadas as temperaturas na fronteira  $[T_0, T_n]$  e as condutividades  $[k_1, \dots, k_n]$ , com:

$$\Delta x_m = x_m - x_{m-1}$$

# Como temos tempo...

Vamos considerar um tema mais avançado, que também dá origem a equações lineares...

(tópico opcional)

# Circuitos com componentes lineares em corrente alterna (Resistor)

Equação algébrica linear:

Lei de Ohm

$$V_R = R_1 I$$

$$I_1 = \frac{V}{R_1} = I_0 \cos(\omega t)$$

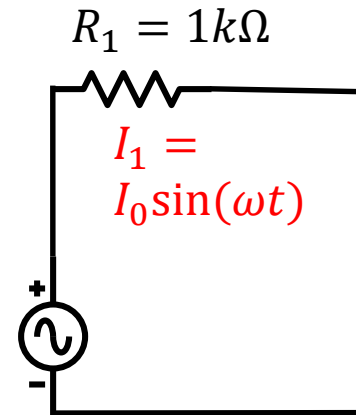
$$I_0 = \frac{V_0}{R_1} = 0.01A$$

$$\omega = 2\pi f$$

$$R_1 = 1k\Omega$$

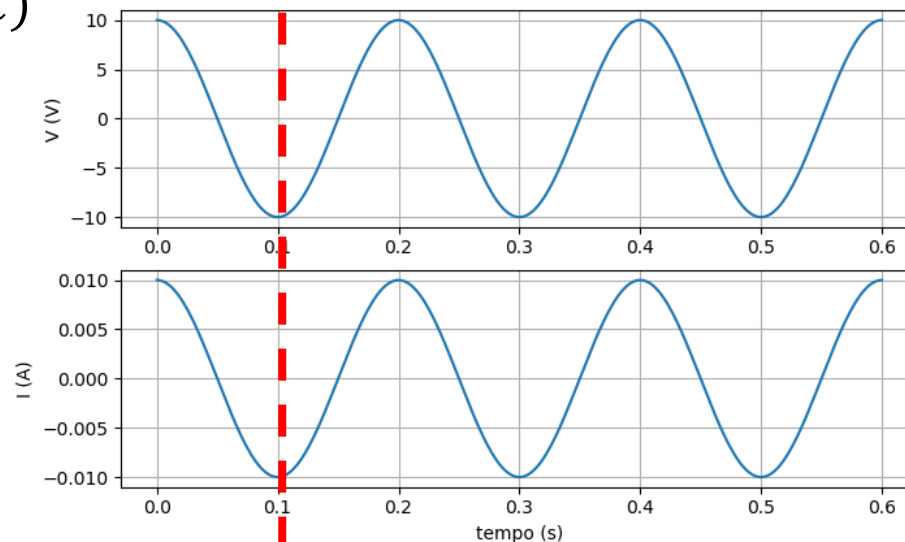
$$I_1 = I_0 \sin(\omega t)$$

$$V = V_0 \sin(\omega t)$$

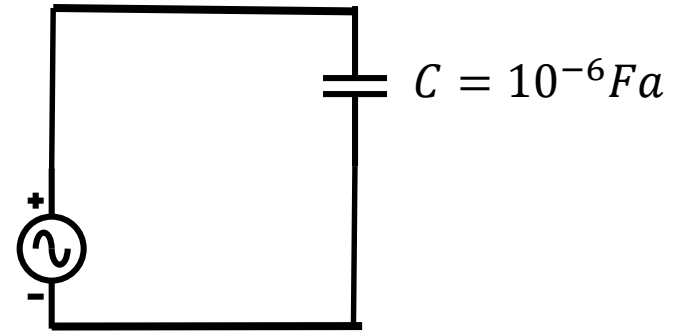


Mesma fase

$$R = 1000\Omega, f = 5Hz$$



# Circuito em corrente alterna num condensador



$$V_C = \frac{1}{C} \int I dt$$

Se

$$V_C = V_{C_0} \cos(\omega t)$$

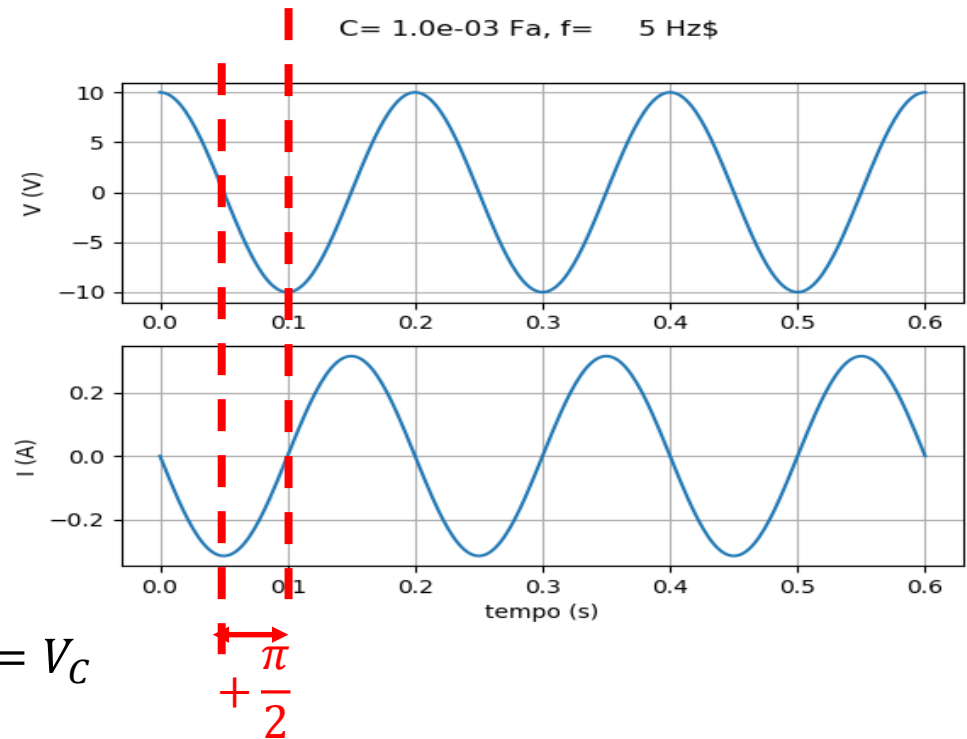
Será:

$$I = -CV_0\omega \sin(\omega t)$$

$$\frac{1}{C} \int -CV_0\omega \sin(\omega t) dt =$$

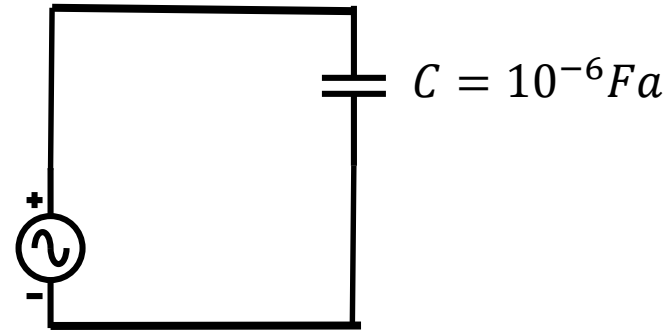
$$-\omega V_0 \int \sin(\omega t) dt = V_0 \cos(\omega t) = V_C$$

Desta forma, não se trata de uma relação linear (**sin** não é proporcional ao **cos**).



# Corrente alterna com números complexos

$$V = V_0 \sin(\omega t)$$



$\cos(\omega t) = \text{Re}\{e^{i\omega t}\}$ , pois (fórmula de Euler)

$$e^{i\theta} = \cos(\theta) + i \sin(\theta)$$

$$V = \text{Re}\{V_0 e^{i\omega t}\} = \frac{1}{C} \int I dt \Rightarrow I = -CV_0 \sin(\omega t) = -CV_0 (\text{Re}\{-ie^{i\omega t}\})$$

Ou seja:

$$V = -\frac{i}{\omega C} I = Z_C I$$

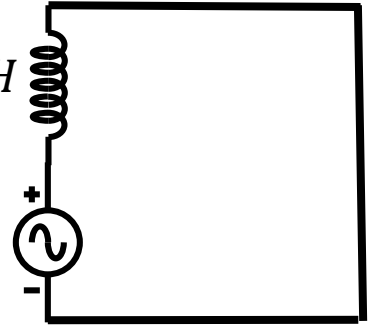
O que reproduz a lei de Ohm (**lei linear**) mas com uma impedância complexa

$$Z_C = -\frac{i}{\omega C}$$

# corrente alterna num indutor

$$L = 10^{-3}H$$

$$V = V_0 \sin(\omega t)$$

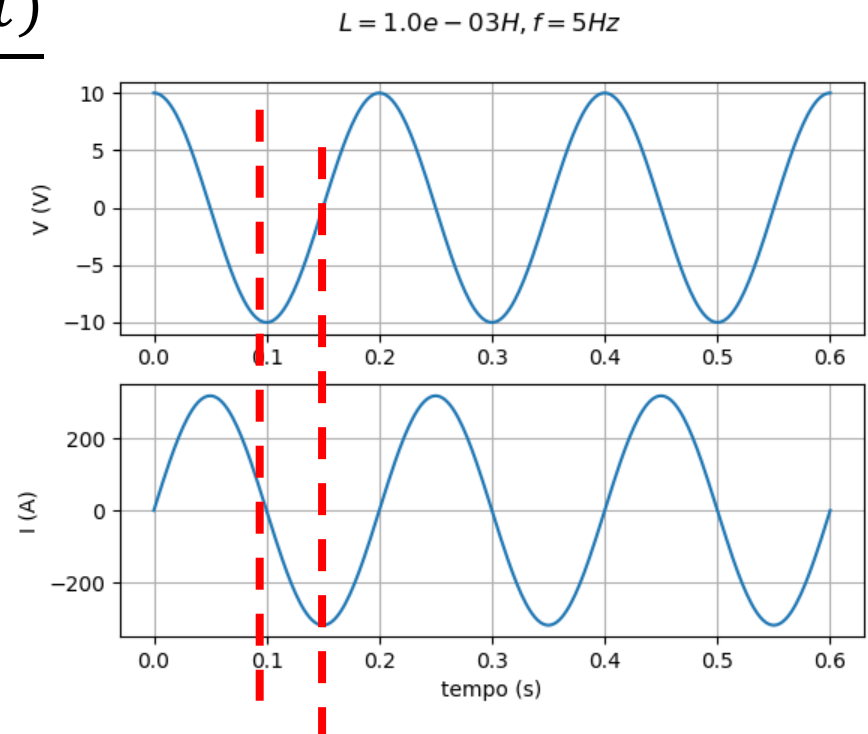


$$V_0 \cos(\omega t) = V_0 e^{i\omega t} = V_L = L \frac{dI}{dt}$$

$$I = I_0 \cos\left(\omega t - \frac{\pi}{2}\right) = \frac{V_0 \cos(\omega t)}{i\omega L}$$

$$V_L = Z_L I$$

$$Z_L = i\omega L$$



# Quando se definem impedâncias complexas...

Os 3 componentes lineares satisfazem a mesma lei (de Ohm):

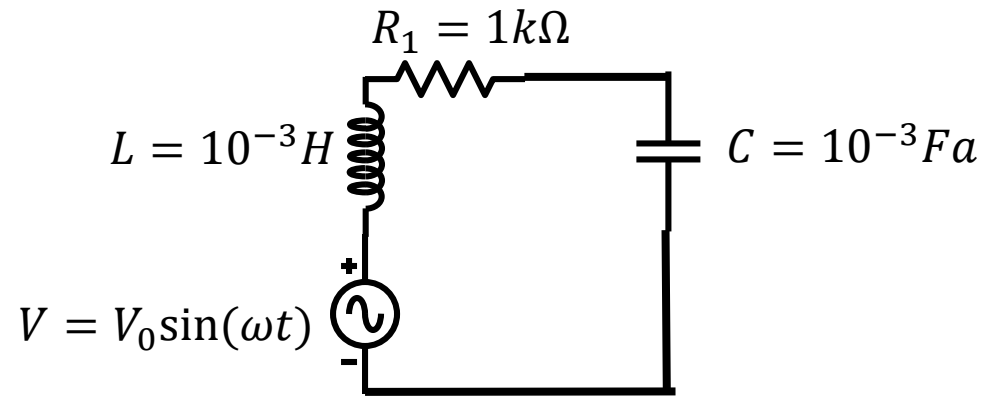
$$V = ZI$$

Onde  $Z$  é **real** e **constante** no caso do resistor ( $Z_R = R$ ), mas é **imaginário** nos outros dois componentes e **varia** com a frequência ( $Z_C = -\frac{i}{\omega C}$ ,  $Z_L = i\omega L$ ).

Trata-se sempre de uma **equação algébrica linear** que resolve **exatamente** uma equação diferencial, para uma dada frequência angular  $\omega$ .



# Circuito RLC em corrente alterna



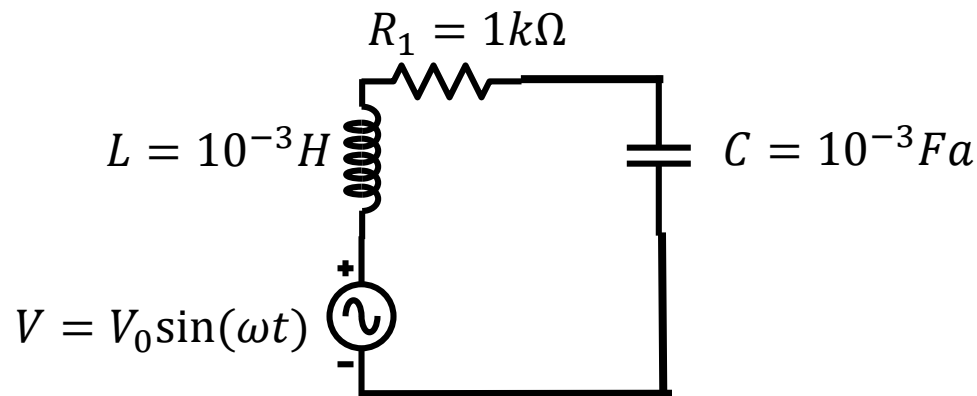
A vantagem das equações lineares é o **princípio da sobreposição**: as propriedades dos vários componentes podem ser adicionadas.

$$V = (Z_R + Z_L + Z_C)I = \left( R + i\omega L - \frac{i}{\omega C} \right) I$$

... notando que  $Z_L, Z_C$  dependem de  $\omega$

# Circuito RLC

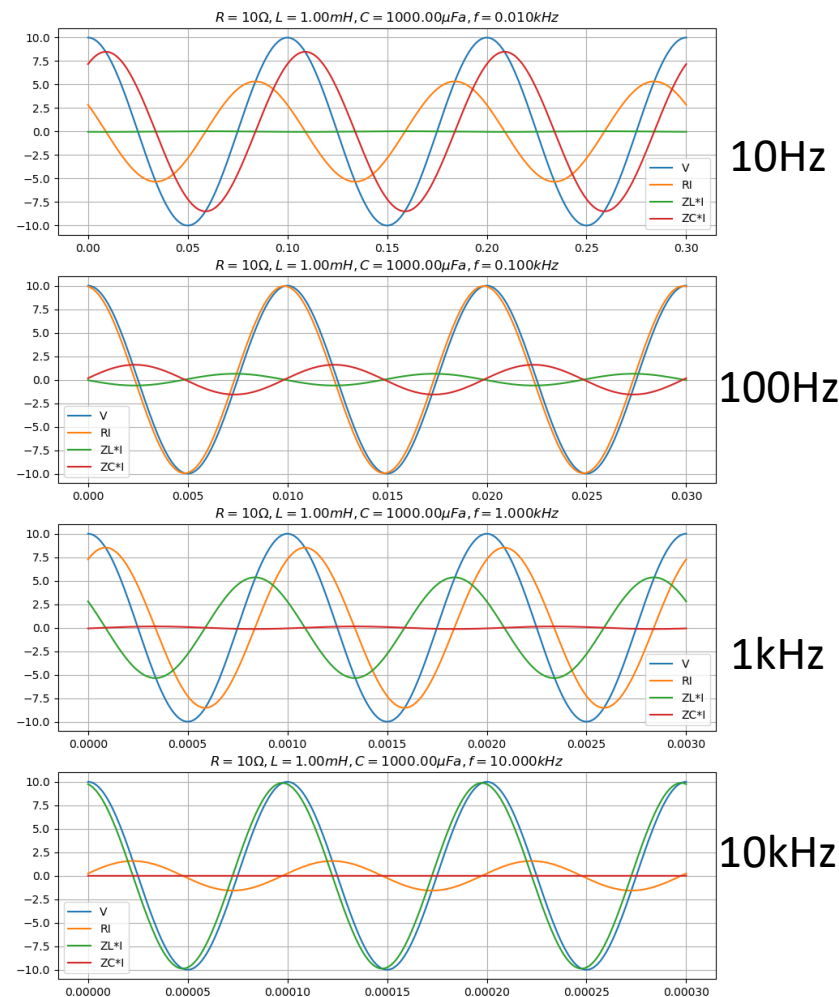
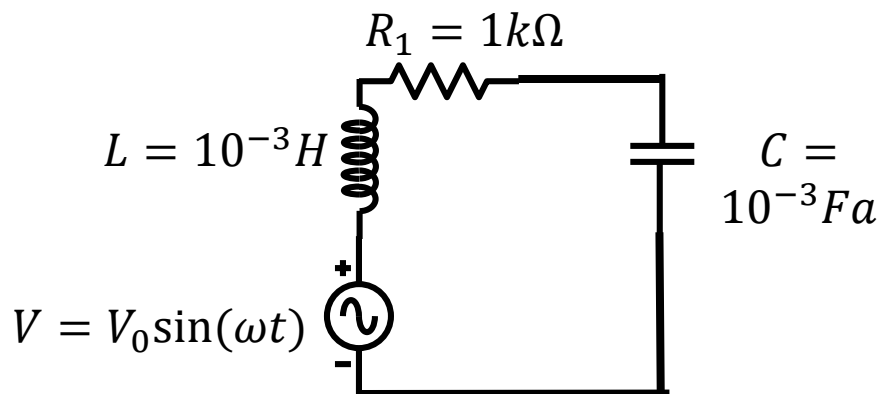
```
import numpy as np
import matplotlib.pyplot as plt
from math import pi
V0=10.;R=10.;C=1e-3;L=1e-3
i=complex(0,1.)
kp=0
for freq in [10,100,1000,10e3]:
    omega=2*pi*freq; periodo=1./freq
    kp=kp+1
    t=np.linspace(0,3*periodo,301)
    V=V0*np.exp(i*omega*t)
    Z=R+i*L*omega-i/(C*omega)
    I=V/Z
    plt.subplot(4,1,kp)
    plt.plot(t,np.real(V),label='V');
    plt.plot(t,np.real(I*R),label='RI')
    plt.plot(t,np.real(I*i*omega*L),label='ZL*I')
    plt.plot(t,np.real(-I*i/(omega*C)),label='ZC*I')
    plt.legend(); plt.grid()
plt.title(r'$R=6.0f \Omega, L=4.2f \text{ mH}, C=4.2f \mu\text{ Fa}, f=6.3f \text{ kHz}$' \
          %(R,L*1000,C*1000000,freq/1000))
```



# Circuito RLC

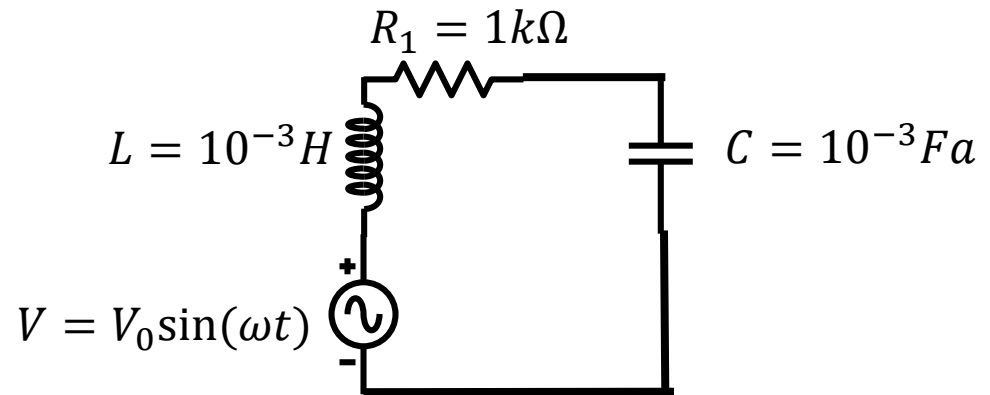
Equação linear (complexa):

$$V = (Z_R + Z_L + Z_C)I = \left( R + i\omega L - \frac{i}{\omega C} \right) I$$



# Circuito RLC (v2)

```
import numpy as np
import matplotlib.pyplot as plt
from math import pi
V0=10.;R=10.;C=1e-3;L=1e-3
i=complex(0,1.)
kp=0
for freq in [10,100,1000]:
    omega=2*pi*freq; periodo=1./freq
    kp=kp+1
    t=np.linspace(0,3*periodo,301)
    V=V0*np.exp(i*omega*t)
    Z=R+i*L*omega-i/(C*omega)
    I=V0/Z
    plt.subplot(3,1,kp)
    plt.plot(t,np.real(V),label='V');
    plt.plot(t,np.real(I*R*np.exp(i*omega*t)),label='RI')
    plt.plot(t,np.real(I*i*omega*L*np.exp(i*omega*t)),label='ZL*I')
    plt.plot(t,np.real(-I*i/(omega*C)*np.exp(i*omega*t)),label='ZC*I')
    plt.grid();plt.legend()
plt.title(r'$R=6.0f \Omega, L=4.1f \text{ mH}, C=4.1f \text{ mF}, f=6.0f \text{ Hz}$' \
        %(R,L*1000,C*1000,freq))
```



# Circuito RLC

Em geral (**lei das malhas**) temos uma equação diferencial:

$$V = V_R + V_L + V_C = RI + L \frac{dI}{dt} + \frac{1}{C} \int Idt$$

Mas, se

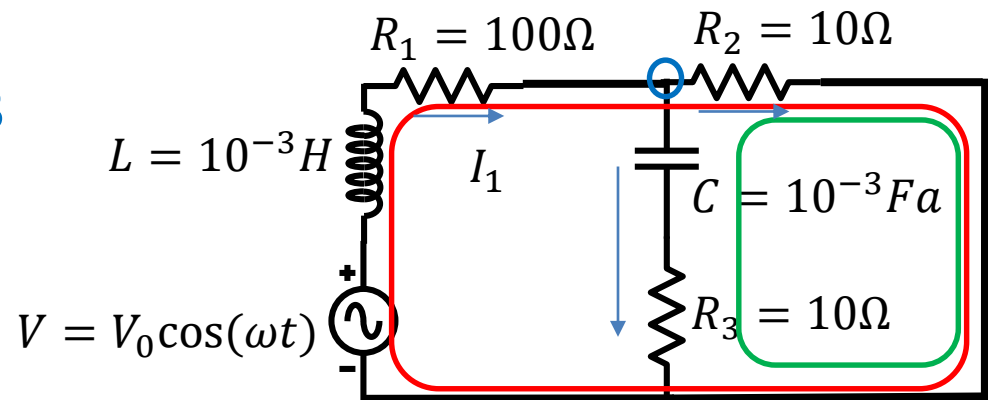
$$V = V_0 \cos(\omega t) = \text{Re}\{V_0 e^{i\omega t}\}$$

Ficamos com uma equação linear algébrica, com coeficientes complexos:

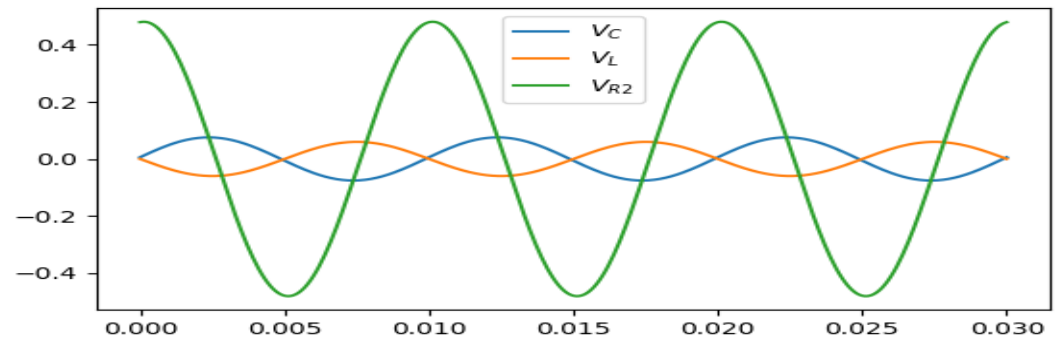
$$V = (Z_R + Z_L + Z_C)I = \left( R + i\omega L - \frac{i}{\omega C} \right) I$$

Esta transformação é um exemplo do método de Fourier de solução de equações diferenciais.

# Sistema de equações lineares complexas



$$\begin{cases} V = (i\omega L + R_1)I_1 + R_2I_2 \\ R_2I_2 - \left(R_3 - \frac{i}{\omega C}\right)I_3 = 0 \\ I_1 - I_2 - I_3 = 0 \end{cases} \Rightarrow \begin{bmatrix} (i\omega L + R_1) & R_2 & 0 \\ 0 & R_2 & -\left(R_3 - \frac{i}{\omega C}\right) \\ 1 & -1 & -1 \end{bmatrix} \begin{bmatrix} I_1 \\ I_2 \\ I_3 \end{bmatrix} = \begin{bmatrix} V_0 \\ 0 \\ 0 \end{bmatrix}$$



```

import numpy as np; import matplotlib.pyplot as plt
i=complex(0.,1.)
V0=10;R1=100;R2=10;R3=10;C=1e-3;L=1e-3;
freq=100;omega=2*np.pi*freq
t=np.linspace(0,3./freq,301)
V=V0*np.exp(i*omega*t)
M=np.array([[i*omega*L+R1,R2,0],\
            [0,R2,-(R3-i/(omega*C))],\
            [1,-1,-1]])
b=np.array([V0,0,0])
I=np.linalg.solve(M,b) #M é complexo
VC=-i/(omega*C)*I[2]*np.exp(i*omega*t)
VL=i*omega*L*I[0]*np.exp(i*omega*t)
VR2=R2*I[1]*np.exp(i*omega*t)
plt.plot(t,np.real(VC),label=r'$V_C$')
plt.plot(t,np.real(VL),label=r'$V_L$')
plt.plot(t,np.real(VR2),label=r'$V_{R2}$')

```

